В.С.Ярош

ТЕОРИЯ ХОЛОДНЫХ ФОТОНОВ-АДРОНОВ И ЕЁ ПРИМЕНЕНИЕ К ЯВЛЕНИЯМ СВЕТА И ТЕПЛОВОГО ИЗЛУЧЕНИЯ

(теория фотонного эфира)

« Лорентц первый провозгласил учение о неподвижном эфире и сделал из него ВСЕ крайние выводы. Как известно это учение выдержало ВСЕ сравнения с опытом — ВСЕ, кроме одного опыта Майкельсона.» Т.Кравец, (21].

ВВОДНАЯ ЧАСТЬ

Книга написана в строгом соответствии с книгой [21]. Различие состоит только в том, что явления света и теплового излучения рассматриваются в этой книге на уровне элементарности более глубоком, чем уровень эдементарности электронов, вошедших в структуру дублетов SU(2) симметрии $SU_{C}(3)$ Абдуса Салама, [32].

Уровень элементарности холодных фотонов-адронов характеризуется симметрией SU_J (3) , сведения о которой можно еайти в Интернете , в ссылке № 4 «Эволюция

симметрии ${
m SU}_{
m C}$ (3) в симметрию холодных фотонов-адронов» на сайте

http://yvsevolod-26.narod.ru/index.html

Несколько сведений об опыте Майкельсона.

Первый свой опыт Майкельсон Альберт Абрахам (1852-1931) провёл в 1881 году. а затем в 1887 году совместно с Морли Эдуардом Уильямсом (1838-1923). В те годы атом вещества представлялся в виде шара Эпинуса, современника М.В.Ломоносова. В 1902 году Д.Д.Томсон в статье «Эпинус атомизированный» развил модель атома Эпинуса, представив его в виде положительно заряженной сферы, внутри которой вращаются электроны, [33]. Подготавливая свой опыт, Майкельсон полагал, что шарики-атомы Земли, двигаясь в газообразной структуре электромагнитного эфира, будут вызывать его возмущения, которые можно зафиксировать с помощью интерферометра. Но результаты опытов Майкельсона, Майкельсона-Морли и других экспериментаторов дали отрицательный результат по простой причине, суть которой в следующем:

Согласно опытам Эрнста Резерфорда (1871-1937) и других английских экспериментаторов, к 1913 году стало ясно, что практически вся масса-энергия атома сосредоточена в его ядре, радиус которого на ПЯТЬ ПОРЯДКОВ меньше радиуса атома. Если руководствоваться масштабной аналогией между скоростью распространения электромагнитных волн в электромагнитном эфире и скоростью распространения звуковых волн в воздухе, то можно прийти к следующему выводу.

Звук от летящего самолёта можно зафиксировать на расстоянии значительно меньшем 100 км = 100 000 см, при размере самолёта порядка 30 м = 3000 см. Относительная величина «слышимости» в воздухе

$$\zeta_{\text{BO3JIYXA}} = 100000 / 3000 = 33.3333...$$

Если размер ядра атома пропорционален величине размера нуклона:

$$r_{NUC} \approx 1.4 \times 10^{-13} \text{ cm}$$

а размер атома пропорционален величине

$$r_{ATOMA} \approx 10^{-8} \text{ cm}$$

то соотношение этих размеров для атомов Земли:

$$r_{ATOMA} / r_{NUC} \approx 10^5$$

окажется на ЧЕТЫРЕ порядка выше предела «слышимости» возмущений в электромагнитном эфире.

Возмущения эфира при такой величине «слышимости» никогда не могут выйти за пределы атома при относительно низкой скорости движения Земли по её орбите (30 км/сек) и при скорости 600 км/сек её движения в составе Солнечной системы относительно абсолютной системы отсчёта, связанной с изотропной средой «нового эфира», [34].

Величина $\zeta_{воздух A}$ фигурирует в этом прикидочном рассчёте в качестве масштабного инварианта по следующей причине.

Согласно [33] Лорентц излагал механические теории эфира Неймана, Френеля, Мак-Кёллага, Томсона (Кельвина), Теорию аберрации Стокса, притяжение и отталкивание пульсирующих шаров в жидкой среде (Опыты Биеркнеса), короче - ВСЮ механикуу эфира девятнадцатого столетия,

которая пыталась интерпретировать механически и сами уравнения Максвелла. И для этого уже в то время были веские основания.

В 1903 году Поль Ланжевен (1872-1946), касаясь поразительной аналогии уравнений механической теории эфира Мак-Кёллага и уравнений Максвелла, писал: «Совпадение дифференциальных уравнений говорят об идентичности обоих эфиров (механического и электромагнитного), и это привело к электромагнитной теории света, в которой световая волна рассматривается как электромагнитная волна.

Две первичные величины: электрическое и магнитное поля вместе с представлениями о пространстве и времени полностью определяют состояние среды.»

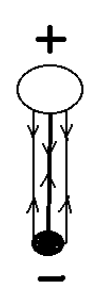
В наше время лорентцева теория относительности (ЛТО), построенная на описанных выше представлениях о механическом и электромагнитном эфире, подтверждается опытными наблюдениями спутнтковой системы. См. Global Positioning System (GPS) на сайте http://acmephysics.narod.ru/b r/gps.htm

В пользу возможных ДВУХ СОСТОЯНИЙ ЭФИРА (механического и электромагнитного) свидетельствуют масштабно подобные формулы скорости распространения света в околоземном пространстве и в воздухе при условиях Стандартной атомсферы.

Фотоны-адроны, как пульсирующие источники-стоки вакуума, могут образовывать фотонную структуру, в недрах которой каждый фотон-адрон находится:

Либо в состоянии стока-отрицательный заряд (минус),

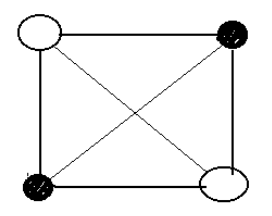
Либо в состоянии истечения-положительный заряд (плюс) Хаотическое (броуновское) движение таких «частиц» образует среду электромагнитного эфира. Дальнодействие зарядов таких «частиц» подчиняется закону Кулона, согласно которому они могут притягиваться (приталкиваться), но могут и отталкиваться. При хаотическом движении таких источников-стоков вакуума любая пара «частиц», пульсирующих в противофазе, притягивается друг к другу и образует Элементарный Гравитационный Диполь (ЭГД):



Размер ЭГД ≈ 1.64×10⁻²¹см

Два ЭГД могут объединиться в элементарном симметричном фрактале – квадрате, массовое число которого равно 4:

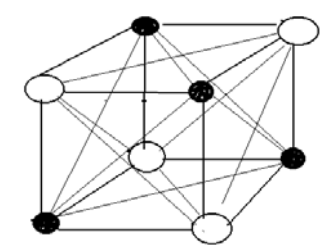
Согласно этим схемам два ЭГД могут объединиться в элементарном симметричном фрактале – квадрате, массовое число которого равно 4:



Сторона квадрата ≈1.64×10⁻²¹ см Рис. 1

Очевидно, что такая «плоская» конструкция статически и динамически устойчива . Её массовое число равно 4 .

Из двух фракталов – квадратов формируется элементарный объёмный фрактал – куб, массовое число которого равно 8:



Ребро куба ≈1.64×10⁻²¹ см Рис. 2

Сила притяжения изображается серией силовых линий, которые могут рассматриваться как СТРУНЫ Дэвида Гросса, способные вибрировать в диапазоне всех электромагнитных и гравитационных волн.

Здесь начинается строительство объёмных материальных тел в соответствии с учением Пифагора.

Пифагор (5 – 6 век до н.э.):

«Начало всего-единица.

Единице, как причине,принадлежит неопределённая двоица.

Из единицы и неопределённой двоицы исходят числа.

Из чисел-точки.

Из точек-линии.

Из них плоские фигуры.

Из плоских- объёмные фигуры.

Из них-чувственно воспринимаемые тела.»

Фотонная структура электрона

$$\begin{split} m_{_{\rm e}} &= 2^2 \times (2^{22})^3 \times \mu^*{_{_{\rm OS}}} = 9.1 \times 10^{-28} \, \Gamma \\ \mu^*{_{_{\rm OS}}} &= 3.083 \times 10^{-48} \, \Gamma \end{split}$$

Фотонная структура нуклона, усреднённого по состояниям р и п

$$m_n = 2 \times (2^{26})^3 \times \mu^{**}_{og} = 1.67 \times 10^{-24} \, \Gamma$$
 если $\mu^{**}_{og} = 2.7627832 \times 10^{-48} \, \Gamma$

Нуклон выступает перед нами как моль квазигаза фотонов – адронов , ибо в состав уго структуры входит точное значение числа Авогадро, найденное выше из закона распределения электронов в атомах вещества ,

Нуклоны и электроны составляют все 100 % наблюдаемого вещества Вселенной. Но есть и ненаблюдаемые объекты природы, к числу которых относится масса планковской квазичастицы.

Масса этой квазичастицы – масса планкеона, строится по алгоритму, описанному выше:

Фотонная модель планкеона

$$\mathbf{M}^* = \mathbf{2}^2 \times (\mathbf{2}^{47})^3 \times \mu_{_{\mathbf{0}\mathbf{S}}}^{\quad ***} = 2.177 \times 10^{-5} \, \Gamma$$
 если $\mu_{_{\mathbf{0}\mathbf{S}}}^{****} = 1.962 \times 10^{-48} \, \Gamma$

Приведенные выше схемы отображают взаимодействие зарядов ЭГД, как одноименных, так и разноимённых. Разноимённые заряды притягиваются. Сила

притяжения изображается жирной линией. Одноименные заряды отталкиваются. Силы отталкивания изображены тонкими линиями.

Путём элементарных рассчётов легко убедиться, что такие **СИММЕТРИЧНЫЕ**

схемы устойчивы и в статическом и в динамическом отношениях.

ОБРАТИМ ВНИМАНИЕ НА СЛЕДУЮЩИЙ ИСКЛЮЧИТЕЛЬНО ВАЖНЫЙ ФАКТ :

МАССОВОЕ ЧИСЛО ЭГД РАВНО **A = 2**. ЭТО ЧИСЛО – СИНОНИМ ПАРНОСТИ И СИММЕТРИИ В ФИЗИКЕ. ОНО ПРОНИЗЫВАЕТ ВСЕ ЗАКОНОМЕРНОСТИ СУБАТОМНОЙ ФИЗИКИ.

ЭТОМУ ЧИСЛУ КРАТНЫ «МАГИЧЕСКИЕ ЧИСЛА» НУКЛИДОВ:

2, 8, 20, 28, 50, 82, 126.

ЭТОМУ ЧИСЛУ КРАТНЫ КОЛИЧЕСТВА ЭГД В НУКЛОНАХ, ЭЛЕКТРОНАХ И ПЛАНКЕОНАХ, ИЗ МНОЖЕСТВА ЧИСЕЛ 2 ПОСТРОЕНО ЧИСЛО АВОГАДРО, и т.д., смотри (05),(4),(13),(14),(24),(26),(28),)29),(31),(37) и (38).

Сила притяжения изображается серией силовых линий, которые могут рассматриваться как СТРУНЫ Дэвида Гросса, способные вибрировать в диапазоне всех электромагнитных и гравитационных волн.

В ЭГД реализуется только сила притяжения, которая может отождествляться с гравитационной силой.

ЧИСЛУ 2 ПОДЧИНЕНО РОЖДЕНИЕ ВСЕХ V-ЧАСТИЦ.

ЭТОМУ ЧИСЛУ КРАТНЫ КОЛИЧЕСТВА ЭЛЕКТРОНОВ В СЛОЯХ K, L, M, N ОРБИТАЛЬНОЙ МОДЕЛИ АТОМОВ ВЕЩЕСТВА: 2, 8, 18, 32.

ИЗ ОТНОШЕНИЙ ЭТИХ ЭЛЕКТРОННЫХ ЧИСЕЛ

$$x = 32/18 = 1.777777778$$

 $y = 18/8 = 2.25$
 $z = 8/2 = 4$

ПРИРОДА ВЫСТРОИЛА ФУНДАМЕНТАЛЬНОЕ ЧИСЛО АВОГАДРО:

$$N_A = [(2(x \times y \times z)]^{16} / 2 =$$

= $2^{79} = 6.0446291 \times 10^{23}$

которое согласно [23] играет фундаментальную роль в физике элементарных частиц, в субатомной физике и в квантовой физике.

КОММЕНТАРИЙ

к вопросам, которые я задал Григорию Владимировичу Домогацкому в портале НАУКА И ЖИЗНЬ

(Согласен ли он, Домогацкий, с реальным существованием фоновой среды холодных фотонов-адронов. Другими словами – с существованием фотонного эфира, механического и электромагнитного)

Известно, см. [1], что γ — rays (гамма-излучение) имеет длину волны, близкую к величине :

$$\lambda_{\gamma} \approx 0.5 \text{ angstrom} =$$

$$= 0.5 \times 10^{-8} \text{ cm}$$

Этой длине волны соответствует частота:

$$v_{\gamma} = c/\lambda_{\gamma} = (2.997924 \times 10^{10} \text{ cm/sec})/0.5 \times 10^{-8} \text{ cm} =$$

$$= 5.995848 \times 10^{18} \text{ герц}$$

 γ — rays суть фотоны, которые не имеют точной границы с фотонами X — rays (с фотонами рентгеновского излучения)

Воспользуемся этими достоверными данными для построения фрактальной модели бета-распада нейтрона, полагая, что соблюдается постоянство скорости света в

$$\mathbf{c} = (\lambda_{\gamma} \times \mathbf{v}_{\gamma}) = (\overset{\cdots}{\lambda}_{o_{\mathbf{H}}} \times \overset{\cdots}{\mathbf{v}}_{o_{\mathbf{H}}}) = \mathbf{Const}$$
3 decay

$$\ddot{\nu}_{og} = \ddot{E}_{og} / h = 0.332508052$$
 герц $\ddot{\lambda}_{og} = c / \ddot{\nu}_{og} = 9.0160944 \times 10^{10}$ см

в соответствии с формулами (21) и (22)

При этом, возможные значения энергии осциллятора, имеющего массу:

$$\mathbf{m} = \mathbf{m}_{\gamma} = \ddot{\boldsymbol{\mu}}_{os}$$

и, см. формулу (06):

$$m=m_{_{\gamma}}^{^{max}}=\mu_{_{os}}^{\prime}$$

вычисляются по формуле Гейзенберга - Шрёдингера:

$$E_n = hv_n (n_n + 0.5)$$

при соотвествующих значениях частот и количеств осцилляций.

Открытие реального существования нейтрино (Паули, 1930 год) позволило Ферми представить простейший обобщённый бета-распад нейтрона в следующем виде:

$$n \rightarrow p + e^- + \overline{\nu}$$

Так как антинейтрино и нейтрино имеют одно и то же значение массы-энергии, мы будем рассматривать бета-распад нейтрона, имея при этом в виду идентичность верхнего предела массы-энергии гамма-кванта и массы-энергии ядра холодного фотона-адрона, а также табличное соотношение между массами-энергиями гамма-кванта и нейтрино, см. [18]:

$$N^*_{\nu} = m_{\nu}^{\text{max}} / m_{\gamma}^{\text{max}} =$$

$$= 0,00006 \text{ M}_{2}\text{B} / 7 \times 10^{-22} \text{ M}_{2}\text{B} =$$

$$= 8.5714286 \times 10^{16}$$

Это соотношение замечательно тем, что оно соотносится с фундаментальным числом:

$$N_{v} = 19388 = 4 \times 4847$$

по универсальному закону кубических фракталов, см. Ссылку № 8 «Конкретные данные о Концепции...» на http://yvsevolod-26.narod.ru/index.html

Составив отношение:

$$N_{\nu}^{*}/N_{\nu} = 4.4209968 \times 10^{12}$$

мы убеждаемся в этом, ибо фрактальный параметр кубов:

$$(0.5) (214)3 = 242 = 4.3980465 \times 1012$$

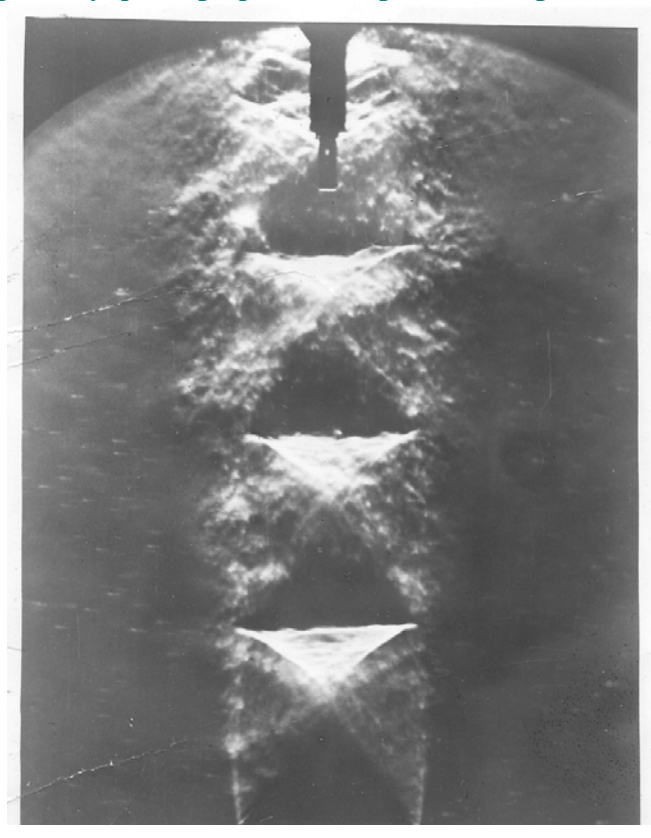
совпадает с отношением (04) с точностью 0.519 %

ВЕРХНИЙ ПРЕДЕЛ МАССЫ-ЭНЕРГИИ ГАММА- КВАНТА
$$m_{\gamma}^{max} = 7 \times 10^{-22} \text{ M}_{9}\text{B/c}^{2} = \\ = 1.2485438 \times 10^{-48} \text{ г}$$
 ЭКВИВАЛЕНТЕН МАССЕ-ЭНЕРГИИ ХОЛОДНОГО ФОТОНА-АДРОНА,
$$\mu_{os}' = 1.2485438 \times 10^{-48} \text{ г}$$

Здесь природа двёт нам наглядный урок масштабной инвариантности. То, что происходит в микрообласти материального вауума, повторяется в другом масштабе в его макрообласти.

То, что происходит у светового барьера, повторяется у звукового барьера в реальных газах, ибо световые волны суть звуковые волны в вакууме.





На этой фотографии мы видим процесс истечения в атмосферу Земли горячих газов, извергаемых из сопла турбореактивного двигателя самолёта. В течение всей работы двигателя на форсированном режиме, когда скорость истечения газов приближается к скорости звука в воздухе, возникают квазистационарные

«бочки» (так их называют газодинамики). Масса-энергия таких «бочек» есть величина постоянная для данных физических условий.

Аналогичное явление наблюдается и в микрообласти, если движение «частиц» гамма-излучения происходит со скоростью, близкой к скорости света в вакууме. Каждый гамма-квант приобретает в этом случае массу-энергию движения, равную массе-энергии ядра холодного фотона-адрона.

Этот же феномен взаимопревращений массы-энергии квантующегося вакуума мы наблюдаем и в процессах бета- распада свободных нейтронов, живущих в свободном состоянии небольшой отрезок времени.

Фундаментальная константа

$$N_{_{
m V}}=19388=4 imes4847$$
 и фотон $\mu'_{
m os}=1.2485438 imes10^{-48}$ г

фундаментальное уравнение распада массы-энергии

НЕЙТРОНА НА ДВЕ МАССЫ-ЭНЕРГИИ ЭЛЕКТРОНА И НА ОБЛАКО МИНИМАЛЬНЫХ МАСС-ЭНЕРГИЙ ЭЛЕКТРОННЫХ НЕЙТРИНО:

(1)
$$m_{n} = (m_{p}) + (2 m_{e}) + (N_{v} \times m_{v_{e}}^{min}) \approx$$

$$\approx 939.5731 \text{ M} \cdot 3B/c^{2} \approx 1.6749543 \times 10^{-24} \text{ G}$$

Здесь

масса нейтрона:

$$m_n = 939.5731 \text{ M}_2\text{B}/c^2 \approx 1.6749543 \times 10^{-24} \text{ G}$$

$$Cm.[18], ctp.665$$

масса протона:

$$m_p = 938.2796 \text{ M} \cdot 3\text{B}/c^2 \approx 1.6726485 \times 10^{-24} \,\text{G}$$

cm.[18], ctp.665

минимальное значение массы электронного нейтрино:

$$m_{\nu_e}^{min} = 14 \ 9B/c^2 =$$

$$= 14 \times 10^{-6} \ M9B/c^2 =$$

$$= 2.4955 \times 10^{-32} \ \Gamma$$
cm.[30],ctp.450

масса электрона:

$$m_e = 0.511034 \text{ M}_{2}\text{B}/c^2 =$$

$$= 9.1182365 \times 10^{-28} \text{ GeV}_{10}$$

$$= 0.511034 \text{ M}_{2}\text{B}/c^2 =$$

Формула (1) позволяет утверждать:

Каждое электронное нейтрино несёт положительный электрический заряд, равный:

$$\partial e_{\nu_e} = +e/N_{\nu} =$$
= + 1.60218992×10⁻¹⁹ Кл/19388 =
= +8.2638226×10⁻²⁴ Кл

Об этом суперэлементарном заряде мы поведём разговор в ПЕРВОЙ ЧАСТИ книги

Согласно формуле (1), в структуре одного нейтрона отрицательный заряд одного электрона нейтрализуется положительным зарядом протона, а другой отрицательный заряд другого электрона нейтрализуется положительными зарядами электронных нейтрино, количество которых (зарядов), равно:

$$N_v = 19388$$

В силу этого обстоятельства, каждый атом вещества нейтрален в зарядовом отношении.

Вывод

Благодаря структуре нейтрона, обозначенной формулой (1), природа создаёт многообразие в семействе изотопов одного и того же элемента Периодической системы Д.И.Менделеева.

Примечание:

Более подробную информации о приведенных выше соотношениях масштабной инвариантности читатель найдёт в ссылке № 30 «Ликвидация кризиса в квантовой физике» на сайте http://yvsevolod-26.narod.ru/index.html

Из упомянутой ссылки мы воспользуемся здесь формулой (5), обозначив её (2), как формулу, следующую за формулой (1). Эта – фрактальная физикоматематическая модель протона:

$$\mathbf{m}_{p} = \mu_{os}'' \times \mathbf{N}_{A} + (2\mathbf{m}_{\gamma}) \times \mathbf{N}_{A} =$$

$$= \mu_{os}'' \times \mathbf{N}_{A} + (2\mu_{os}') \times \mathbf{N}_{A} =$$

$$= 1.6726485 \times 10^{-24} \ \Gamma$$
если

верхний предел массы-энергии гамма-кванта, см. [18] на стр. 662.

Подставляя фрактальную модель (2) протона в формулу (1), мы получаем объединённую фрактальную модель бета - распада нейтрона:

$$m_{n} = (\mu_{os}'' \times N_{A}) + (2m_{\gamma}^{max} \times N_{A}) + (2m_{e}) + (N_{\nu} \times m_{\nu_{e}}^{min}) =$$

$$= 1.6749543 \times 10^{-24} \Gamma$$

Из этой фрактальной модели бета-распада нейтрона следует вывод о том, что все внутринейтронные превращения квантующейся энергии-массы происходят на уровне эдементарности холодных фотонов-адронов в соответствии с достоверными данными о симметрии

$$SU_{J}(3)$$

описанной в ссылке № 4 «Эволюция симметрии SUc(3) А.Салама в симметрию холодных фотонов-адронов» на сайте: http://vvsevolod-26.narod.ru/index.html

Об этом феномене природы свидетельствуют следующие физические константы, вошедшие в структуру формулы (3).

Фундаментальное число Авогадро:

$$N_A = (2XYZ)^{16}/2 =$$

$$= 2^{79} = 2 \times (2^{26})^3 =$$

$$= 6.0446291 \times 10^{23}$$

которое природа формирует из относительных чисел:

(5)
$$X = 32/18 = 1.77777778$$
$$Y = 18/8 = 2.25$$
$$Z = 8/2 = 4$$

строящихся из чисел, определяющих количества электронов на внешних орбитах тяжёлых атомов (тяжёлых элементов), положенных в основу электронных слоёв K, L, M, N современной модели атомов:

При чём здесь электронные орбиты атомов?

поясняю:

Согласно [31] , tine structure (тонкая структура) есть расщепление спектральных линий излучаемой энергии-массы, обусловленное потенциальной энергией электронов в собственном

магнитном поле атома.

Этот феномен природы электромагнитных излучений отображается фундаментальным числом:

$$N_{\nu} = 19388 = 4 \times 4847$$
 входящим в структуру формулы (1).

Это же число свидетельствует о существовании не одной, а ТРЁХ постоянных тонкой структуры:

$$(a \ 0) \qquad \qquad \left(\begin{array}{l} \alpha_0 = e^2 \ / \, \hbar c \\ \alpha_0^{-1} = 137.03604 \end{array}\right)$$

В этих трёх формулах:

$$\alpha_0 = \alpha = 0072973586$$

табличное (стандартное) значение постоянной тонкой структуры.

Соответственно:

$$e = 1.6021892 \times 10^{-19} \, \text{K}$$
л

$$e = 4.803242 \times 10^{-10}$$
 ед. CGSE

заряд электрона (абсолютная величина)

$$h = 1.054592 \times 10^{-27} \text{ F} \times \text{cm}^2 / \text{c}$$

постоянная Планка и

$$c = 2.997924562 \times 10^{10} \text{ cm/c}$$

скорость света

Число У в соответствии с (4) и (5).

В формулах (2) и (3) используются две характерные реализации МАССЫ-ЭНЕРГИИ холодного фотона-адрона

(8)
$$\mu'_{os} = 1.2485438 \times 10^{-48} \, \Gamma$$

$$\mu''_{og} = 2.7007632 \times 10^{-48} \ \Gamma$$

которые реализуются в интервале:

(10)
$$7.2 \times 10^{-49} \ \Gamma \le \mu_{\text{off}} \le 10^{-47} \ \Gamma$$

обозначенном в формуле научного открытия № ОТ – 11681,

см. ссылку №2 на http://yvsevolod-26.narod.ru/index.html под названием:

«Формула научного открытия № ОТ-11681»

Масса-энергия протона вычисляется не только по формуле:

$$m_{p} = \mu_{os}'' \times N_{A} + (2m_{\gamma}) \times N_{A} =$$

$$= \mu_{os}'' \times N_{A} + (2\mu_{os}') \times N_{A} =$$

$$= 1.6726485 \times 10^{-24} \Gamma$$

$$m_{\gamma} = 7 \times 10^{-22} \text{ MaB/c}^{2} =$$

$$= 1.121442 \times 10^{-27} \text{apg/c}^{2} =$$

$$= 1.2485438 \times 10^{-48} \Gamma$$

верхний предел массы-энергии гамма-кванта, см.[18] на стр.662.

но и по формуле:

$$m_{p} = \mu^{p}_{os} \times N_{A} =$$

$$= \mu^{p}_{os} \times 2(2^{26})^{3} =$$

$$= 1.6726485 \times 10^{-24} \Gamma$$

При этом, масса-энергия электрона вычисляется по формуле:

$$m_e = \mu_{0H}^e \times 2^2 (2^{22})^3 = 9.1182365 \times 10^{-28} \Gamma$$

Численные значения масс-энергий пульсирующих ядер холодных фотонов-адронов в эти формулах:

$$\mu^{\rm p}_{\rm og} = 2.7671648 \times 10^{-48} \Gamma$$

$$\mu^{\rm e}_{\rm og} = 3.0893786 \times 10^{-48} \Gamma$$

определяются в одном и том же интервале:

$$7.2 \times 10^{-49} \ \Gamma \le \mu_{og} \le 10^{-47} \ \Gamma$$

зависящем от интервала абсолютных темпеератур мирового пространства, обозначенном в формуле научного открытия N = 0.000 OT - 1.000 OT.

текст которой приведен ниже.

В этом же интервале определяются и массы-энергии:

$$\mu'_{os} = 1.2485438 \times 10^{-48} \, \Gamma$$

$$\mu_{\text{оя}}'' = 2.7007632 \times 10^{-48} \text{ г}$$
локализующиеся в формуле (2)

Более подробная информация об этом феномене природы в ссылке № 8 «Конкретные данные о Концепции...» на http://yvsevolod-26.narod.ru/index.html

В итоге мы можем констатировать следующий факт:

ИЗ ОПЫТА ИЗВЕСТНО, ЧТО МОДЕ РАСПАДА (01) ПОДЧИНЕНЫ ВСЕ 100% СВОБОДНЫХ НЕЙТРОНОВ. СЛЕДОВАТЕЛЬНО, ВСЕ СВОБОДНЫЕ НЕЙТРОНЫ РАСПАДАЮТСЯ ПО ЗАКОНУ СОХРАНЕНИЯ МАССЫ-ЭНЕРГИИ (1).

Обращает на себя внимание следующий факт:

Усреднённый квант массы-энергии:

(19)
$$\overline{\mu}_{os} = (\mu'_{os} + \mu''_{os} + \mu^{p}_{os} + \mu^{e}_{os})/4 = 2.4514626 \times 10^{-48} \, \Gamma$$

эквивалнгтен кванту энергии-массы:

(20)
$$\overline{E}_{os} = \ddot{\mu}_{os} \times c^2 = h\ddot{\nu}_{os} = 2.2032639 \times 10^{-27} \,\mathrm{spr}$$

частота осцилляций которого:

$$\ddot{v}_{og} = \ddot{E}_{og} / h = 0.332508052$$
 герц

реализуется на длине волны:

$$\ddot{\lambda}_{os} = c / \ddot{v}_{os} = 9.0160944 \times 10^{10} \text{ cm}$$

И последние замечания.

Во всех приведенных выше физико-математических моделях бета-распада свободного нейтрона и в моделях трёх постоянных тонкой структуры «господствует» чило 2.

Это число сопряжено с понятием чётности , смысл которой подробно описан в ссылке № 8 «Конкретные данные о Концепции…» на сайте

http://yvsevolod-26.narod.ru/index.html

Параметры холдных фотоно-адронов, как параметры Элементарной Квантово-Динамической Системы (ЭКДС), впервые были описанв в [8], в 1977 году, а затем в Формуле научного открытия № ОТ-11681:

FORMULA OF DISCOVERY # OT - 11 681

By means of analysis and generalization of theoretical and experimental data on radiations oscillators and matter oscillators the unknown phenomenon of formation of mass-energies of quiescent photons was stated:

$$\begin{split} \mu_o = & 3 \times \mu_{os} \approx 7,\!84 \times 10^{-48} g \\ & 7,\!2 \times 10^{-49} g \leq \mu_{os} \leq 10^{-47} g \\ & \text{when} \quad 2,\!1 \text{ K} \leq T_{br} \leq 4,\!1 \text{ K} \end{split}$$

consists in the fact that at extreme temperature conditions of the star photo-spheres at the peaks of spectral density, when $hv\!\approx\!5~kT_{\!\otimes}$, waves-particles (radiations oscillators) are transformed into particles-waves (matter oscillators) with mass-en

$$\mu_0^* \approx 5 \,\mathrm{kT}_{\infty} / \,\mathrm{c}^2 \approx 5.9 \times 10^{-33} \,\mathrm{g}$$

reducing up to mass-energy of relative quiescent state:

$$\mu_0 = 3 \mu_{0g} = 7.84 \times 10^{-48} g$$

in the result of aero-hydrodynamic inhibition in background material environment of the universe and reduction of the absolute temperature of the thermostat from

$T_{\infty} \approx 6000 \text{K}$ star photo-spheres up to $T_{\text{br}} \approx 3 \text{K}$

of the background material environment of the space microwave background radiation, in the view of which the cold gas with isotropic density is formed in the universe:

$$\rho = \mu_{os} \times L \approx 7 \times 10^{-29} \text{g/cm}^3$$

forming the dominating component of the concealed mass of the Universe.

vs.yarosh@mtu-net.ru

РЕЗЮМЕ

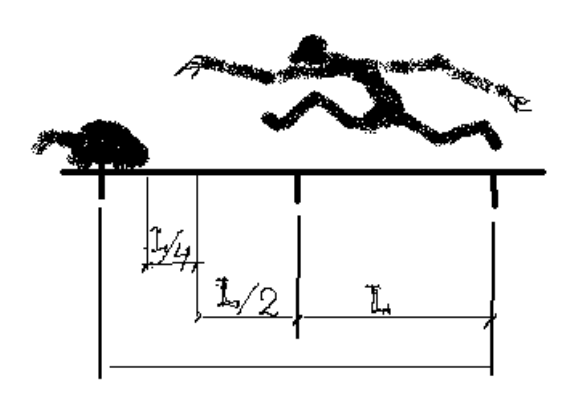
Н. Бор и Ф. Калькар в своей работе «О превращениях атомных ядер, вызванных стролкновениями с материальными частицами», см. [17], писали:

«Всякое превращение атомного ядра происходит через промежуточный этап, в котором энергия временно оказывается распределённой между всеми частицами составной системы»

Этим фундаментальным свойством наделено и такое ядро, как свободный нейтрон.

Древнегреческие мыслители не владели современными математическими премудростями, заполнившими современную физику. Но они владели концентрированными знаниями, полученными в наследство от древнеегипетской цивилизации.

Они могли в простых и наглядных формах отображать глубочайшие знания о законах природы .



Фиг.1

Примером такой простой и наглядной формы является хорошо известная притча (апория) об Ахилле и черепахе ,см.Фиг.1. Здесь мы имеем возможность расшифровать квантовую модель строения Мироздания ,построенную древними мудрецами.

Попробуем это сделать. Ахилл, нагоняя черепаху, сделал предпоследний шаг длиною L. Чтобы догнать черепаху, ему необходимо преодолеть еще половину шага L/2, затем четверть шага L/4, затем L/8 и т.д.

В результате древний мыслитель получал квантованную или фрактальную модель двух последних шагов Ахилла

(23)
$$L+L/2+L/4+L/8+L/16+L/32+L/64+...$$

Вынося L за скобки, древний философ приобретал следующее представление, в котором число 2 играло определяющую (фундаментальную) роль:

(24)
$$L \times (1+1/2^{-1}+1/2^{2}+1/2^{3}+1/2^{4}+1/2^{5}+...+1/2^{N}+...) = L \times \lambda^{*} = SpL^{*} = Sp2L$$

Из этого математического представления апории следовала безразмерная модель очень важного числового ряда:

$$\lambda^* = \operatorname{SpL}^* / \operatorname{L}$$

в котором:

(26)
$$\lambda^* = (1+1/2^1+1/2^2+1/2^3+1/2^4+...+1/2^N+...) \rightarrow 2$$

спектральный инвариант относительной микрообласти , применяемый к любой геометрической и физической величине A = L .

Например, если $A = L = (M_p = 1,67 \times 10^{-24} \Gamma)$ масса покоя протона (нуклона),то с помощью инварианта относительной микрообласти можно построить спектральную модель пары нуклонов :

$$2\mathbf{M}_{\mathbf{P}} = \mathbf{Sp2M}_{\mathbf{P}} / \lambda^* = \mathbf{Const}$$

и описать гравитационный диполь двух нуклонов, в котором будет отображен ступенчатый (квантованный) рост второй массы нуклона.

Чтобы в этом убедиться, построим сумму двух масс-энергий, образующих гравитационный диполь:

(28)
$$(M_{P} + M_{P}) = Sp2M_{P} / \lambda^{*} =$$

$$= (M_{P}/2^{0} + M_{P}/2^{1} + M_{P}/2^{2} + M_{P}/2^{3} + ... + M_{P}/2^{N} + ...) \approx$$

$$\approx (....M_{P}/2^{N} + ... + M_{P}/2^{3} + M_{P}/2^{2} + M_{P}/2^{1} + M_{P}/2^{0}) \approx$$

$$\approx (2 \times M_{P})$$

ПРИМЕЧАНИЕ:

Здесь необходимо обратить особое внимание на БАРЬЕРНОЕ ЗНАЧЕНИЕ

числа 2^N . Π_{PH} N=79 РЕАЛИЗУЕТСЯ ФИЗИЧЕСКИЙ БАРЬЕР, РОЛЬ КОТОРОГО ВЫПОЛНЯЕТ ЧИСЛО АВОГАДРО :

(29)
$$N_A^* = 2^{79} = 6,0446291 \times 10^{23}$$

Это число УПРАВЛЯЕТ процессом роста нуклонов и ядер атомов вещества в материальном пространстве.

Здесь возникает вопрос:

Откуда берёт природа дополнительную массу - энергию, формирующую гравитационные диполи нуклонов и ЭГД?

Правильный непротиворечивый ответ может быть только один:

Из материального тела физического пространства.

Здесь обращает на себя внимание следующий факт, ИМЕЮЩИЙ ДУАЛИСТИЧЕСКОЕ ИСТОЛКОВАНИЕ.

Скорость распространения возмущений в таком квазигазовом пространстве может иметь как электромагнитную интерпретацию, так и термодинамическую.

Ниже я привожу выдержку из моей статьи «Прогноз фундаментальных изменений в науке о физическом пространстве», опубликованной в Интернете на сайте: http://vvsevolod-26.narod.ru/index.html

Ссылка № 5:

Используя спектральный инвариант, разложим ядерную плотность нуклона:

$$\rho_{\rm g} \approx 1.41 \times 10^{14} \, \Gamma/\,{\rm cm}^3$$

в спектральный ряд:

(31)
$$\rho_{g} \times \lambda = \rho_{g}/2^{0} + \rho_{g}/2^{1} + \rho_{g}/2^{2} + \dots + \rho_{g}/2^{N} + \dots$$

Изучим этот ряд плотностей подробнее.

1) При N = 99 реализуется компонента спектральной плотности материального пространства, ответственная за электростатические взаимодействия пульсирующих тел:

(32)
$$\rho^*_{-\alpha} = \rho_g / 2^{99} = 2,2088105 \times 10^{-16} \Gamma / cm^3$$

Есть основание полагать, что это - гелиеподобная плотность мирового пространства Вблизи Земли, под действием сил гравитации, она уплотняется и приобретает воздухоподобную структуру:

(33)
$$\rho^*_B = \rho^*_{-\alpha} \times (A_B / A_H) = 1,5984711 \times 10^{-15} \Gamma / cm^3$$

Здесь $A_B=28,966$ массовое число моля воздуха, см.[10], $A_H=4,0026$ массовое число моля газа Гелия .

Газ плотности ρ^* в имеет величину моля, равную :

(34)
$$\mu^*_B = \rho^*_B \times (N_A/L) = 3,5958759 \times 10^{-11} \, \Gamma/\text{моль}$$

Злесь

$$N_A = 2^{79} = 6,0446 \times 10^{23} \text{моль}^{-1}$$

размерное число Авогадро, и

(37)
$$L = 2,687 \times 10^{19} \,\mathrm{cm}^{-3}$$

размерное число Лошмидта.

2) При N = 281 реализуется компонента спектральной плотности мирового пространства, ответственная за гравитационные взаимодействия:

(38)
$$\rho_{-\alpha} = \rho_{\rm H} / 2^{281} = 3.626028 \times 10^{-71} \, \Gamma / \, \text{cm}^3$$

СЛЕДОВАТЕЛЬНО:

Используя полученное выше определение моля воздухоподобной структуры околоземного пространства

$$\mu^*_B \cong 3,59 \times 10^{-11} \, \Gamma / \, \text{моль}$$

можно ТОЧНО вычислить термодинамическую скорость распространения световых волн у поверхности Земли:

(40)
$$C = \sqrt{R \times T_0} \times \sqrt{\gamma / \mu_B^*} = 3.054 \times 10^{10} \text{ cm/c}$$

которая оказывается, при температуре Стандартной атмосферы у поверхности моря Земли

$$T_{0} = 288,15K$$

масштабно подобной скорости распространения звуковых волн в воздушной среде:

(42)
$$a = \sqrt{R \times T_0} \times \sqrt{\gamma / \mu_B} = 3,402843 \times 10^4 \text{ cm/c}$$

В силу этого обстоятельства имеет место быть нетривиальное соотношение :

$$a^4 \times N^*_A \approx c^4$$

Злест

(44)
$$R = 8,3143 \times 10^{7} \, \text{эрг} \times \text{K}^{-1} \times \text{моль}^{-1}$$

универсальная газовая постоянная и

(45)
$$\gamma = C_P / C_V = 7/5 = 1.4$$

отношение удельных

теплоемкостей двухчастичных газов азота и кислорода, на 99,9 % населяющих земную атмосферу на уровне моря, см.[11],

$$\mu_{\rm B} = 28,966 \Gamma / {
m моль}$$

молекулярный вес воздуха, сохраняющийся до высоты 100 км над уровнем моря, см. [10]. Число Авогадро

(47)
$$N_A^* = 2^{79} = 6,0446291 \times 10^{23}$$

было обозначено выше.

Таковы вкратце возможности механического и электромагнитного эфира фотонов-адронов.

В заключение этого раздела книги ещё раз вернемся к «единственному» опыту Майкельсона, который дискредитировал теорию механического и электромагнитного эфира девятнадцатого столетия.

К началу 1913 года Э.Резерфорд и другие английские экспериментаторы обнаружили ранее неизвестный феномен природы:

Практически вся масса ядра атома сосредоточена в его ядре, радиус которого на ПЯТЬ ПОРЯДКОВ меньше радиуса самого атома.

Для описания этого явления природы Э.Резерфорд получил следующую формулу, см. [30]:

(48)
$$d\sigma/d\Omega = (Z_1 Z_2 e^2 / 2m v^2)^2 / \sin^4(v/2)$$

Злесь:

$$d\sigma/d\Omega$$

сечение рассеяния в единичный телесный угол,

$$(50) \qquad \qquad \upsilon > 90^{\circ}$$

угол рассеяния,

$$m = m_1 m_2 / (m_1 + m_2)$$
 приведенная масса двух сталкивающихся частиц

 \mathbf{V}

их относительная скорость

$$\mathbf{Z}_{1}$$
е и \mathbf{Z}_{2} е

электрические заряды частиц

$$e = 1.6021892 \times 10^{-19} \text{ Kл} =$$

$$= 4.803242 \times 10^{-10} \text{ ед. CGSE}$$

элементарный электрический заряд, физическая модель и природа которого будет рассмотрена в ПЕРВОЙ ЧАСТИ книги.

Сечение **о** характеризует вероятность перехода двух сталкивающихся (упруго или неупруго) частиц в конечное состояние. Эта величина равна отношению числа **dN** таких переходов в единицу времени, к числу частиц, проходящих в единицу времени через единичную площадку, перпендикулярную к их скорости:

(55)
$$\sigma = (dN/nv) cm^2$$

Здесь п плотность падающих частиц.

Применительно к ядрам μ_{os} холодных фотонов-адронов, плотность которых равна плотности ядерной материи:

(56)
$$\rho_{s} \approx 1.41 \times 10^{14} \, \Gamma / \, \text{cm}^3$$

мы имеем процесс упругого рассеивания точечны «классических» частиц на шарике ралиуса

(57)
$$r_{og} \approx 1.64 \times 10^{-21} \text{ cm}$$

с «абсолютно жёсткой» поверхностью:

(58)
$$\sigma \approx \pi (r_{og})^2 \approx 8.449 \times 10^{-42} \text{ cm}^2$$

Такое рассеяние фотонов-адронов происходит в глубочайшей микрообласти, на много порядков более глубокой, чем область реализации электронов и нуклонов, и более глубокой, чем область реализации дублетов SU(2) симметрии $SU_{\rm C}(3)$ Абдуса Салама, [32].